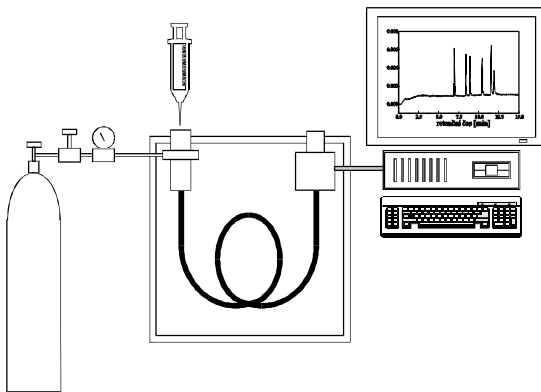


## Gas Chromatography, GC

### PLYNOVÁ CHROMATOGRAFIE, GC

Plynový CHROMATOGRAF



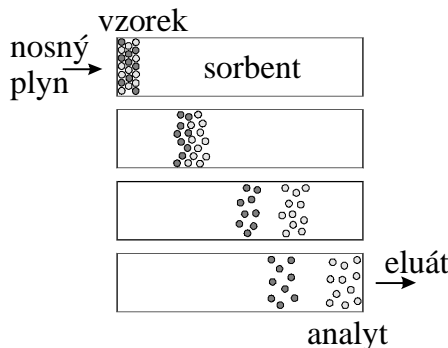
### SEPARACE v GC

probíhá v kapilární nebo náplňové koloně, která obsahuje **stacionární** (nepohyblivou) **fází** (sorbent) a **mobilní** (pohyblivou) **fází** (nosný plyn, inertní plyn či eluent).

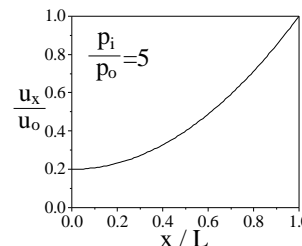
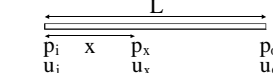
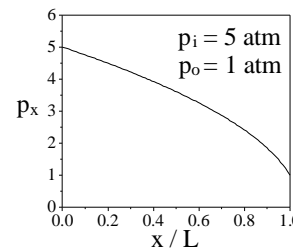
Rozdílné analyty mají rozdílnou **afinitu k sorbentu**.

Různé analyty vykazují různou **distribuci** mezi sorbentem a eluentem nebo **adsorpci** na sorbentu.

Rozdílné analyty jsou rozdílně **zadržovány** a rozdílně **zpožďovány** (retardovány).



### LINEÁRNÍ RYCHLOST NOSNÉHO PLYNU



### KOMPRESIBILITNÍ FAKTOR, j

$$j = \frac{3}{2} \cdot \frac{\left(\frac{p_i}{p_o}\right)^2 - 1}{\left(\frac{p_i}{p_o}\right)^3 - 1}$$

$p_i$  tlak na vstupu do kolny  
 $p_o$  tlak na výstupu z kolony

průměrná lineární rychlosť mobilní fáze

$$\bar{u} = \frac{B_o \cdot \Delta p}{\eta \cdot \varepsilon \cdot L} = \frac{B_o \cdot (p_i - p_o)}{\eta \cdot \varepsilon \cdot L}$$

$$\bar{u} = j \cdot u_o$$

$B_o$  specifická permeabilita kolony [ $\text{m}^2$ ]  
 $\Delta p$  tlakový spád [Pa]  
 $\eta$  dynamická viskozita [Pa s]  
 $\varepsilon$  vnitřní porozita sorbentu  
 $L$  délka kolony [m]

### REtenční objemy v GC

mrtvý retenční objem

$$V_M = t_M \cdot F_m$$

retenční objem

$$V_{R,i} = t_{R,i} \cdot F_m$$

redukovaný retenční objem

$$V'_{R,i} = t'_{R,i} \cdot F_m = V_{R,i} - V_M$$

**čistý retenční objem** je redukováný retenční objem korigovaný na stlačitelnost nosného plynu

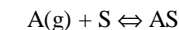
$$V_N = t'_{R,i} \cdot F_m \cdot j = V'_{R,i} \cdot j$$

**specifický retenční objem** je čistý retenční objem vztažený na 1 g nebo 1  $\text{m}^2$  stacionární fáze a vztažený na 0 °C (tj. 273,15 K)

$$V_g = \frac{273,15 \cdot V_N}{w_L \cdot T_c}$$

$$V_S = \frac{273,15 \cdot V_N}{S \cdot T_c}$$

### ADSORPCE



$$K_{D,A} = \frac{(c_A)_{AS}}{(c_A)_g} = \frac{(c_A)_{AS} \cdot (\gamma_A)_{AS}}{(c_A)_g \cdot (\gamma_A)_g}$$

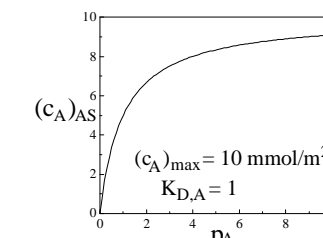
$$(c_A)_{AS} = \frac{K_{D,A}}{R \cdot T} \cdot p_A$$

### **Henryho adsorpční izotermu**

$$(c_A)_{AS} = konst \cdot p_A$$

### **Langmuirova adsorpční izotermu**

$$(c_A)_{AS} = (c_A)_{max} \cdot \frac{K_{D,A} \cdot p_A}{1 + K_{D,A} \cdot p_A}$$



## ROZPOUŠTĚNÍ (ABSORPCE)

### **Raoultův zákon**

$p_B = p_B^0 \cdot x_B$   
 $p_B$  parciální tlak složky B nad směsí kapalin  
 $p_B^0$  tlak (tenze) nasycených par složky B  
 $x_B$  molární zlomek složky B v kapalné směsi

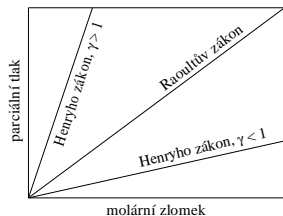
$$p_B = p_B^0 \cdot \gamma_B \cdot x_B$$

$$\gamma_B = \gamma_B(x_B)$$

pokud  $x_B \ll 1$ , pak  $\gamma_B$  je konstantní a platí

### **Henryho zákon**

$$p_B = H_B \cdot x_B$$



## VLIV TEPLITOY NA SEPARACI

teplota nástřikové hlavy,  $T_{inj}$   
 teplota termostatu kolony,  $T_c$   
 teplota detektoru,  $T_d$

$$T_c > T_{var}, T_{inj} \geq T_c, T_d > T_c$$

Vyšší teplota kolony vede k rychlejší analýze.

Vyšší teplota kolony vyžaduje vyšší tlak nosného plynu na vstupu do kolony pro zachování jeho lineární rychlosti kolonou.

**izotermická** analýza,  $T_c = konst.$   
 analýza s **teplotním gradientem**,  $T_{c,1} \rightarrow T_{c,2}$

## DERIVATIZACE ANALYTU

vede ke snížení jeho bodu varu ( $T_{var}$ )

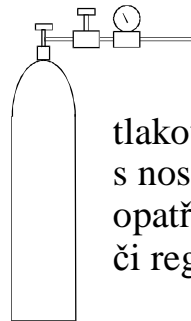
kyselina benzoová (249 °C), anilin (184 °C),  
 benzanilid (117 °C)

### derivatizace aminokyselin

aminokyselina  
 $+ \text{isopropylalkohol} \rightarrow \text{isopropylester}$   
 $+ \text{trifluoracetanhydrid} \rightarrow \text{trifluoracetamid}$

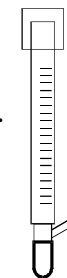
## NOSNÝ PLYN

$N_2, H_2, He, Ar$



**tlaková láhev**  
**s nosným plynem**  
**opatřená regulátorem tlaku**  
**či regulátorem průtoku**

**bublinkový**  
**průtokoměr**



## DÁVKOVÁNÍ VZORKU

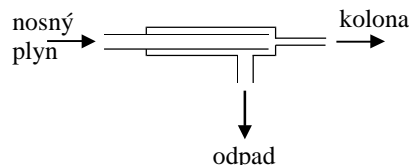
se provádí do nástřikové hlavy opatřené **septem**, která je **vyhřívána** na zvolenou teplotu a **proplachována** nosným plynem

**plynné vzorky**  
 injekční stříkačky o objemu 10 až 1000 µl

**kapalné vzorky**  
 injekční stříkačky o objemu 1 až 100 µl

**tuhé vzorky**  
 roztok ve vhodném rozpouštědle

**split/splitless dávkovač**



## KOLONY

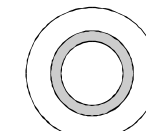
### a) **náplňové kolony**

skleněné nebo z nerezové oceli  
 o průměru 1 až 6 mm a délce 0,5 až 5 m  
 s adsorbentem (GSC)  
 se stacionární fází na inertním nosiči (GLC)

### b) **kapilární kolony**

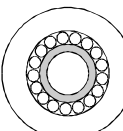
dříve skleněné nebo z nerezové oceli  
 dnes výhradně křemenné s polyimidem  
 o průměru 0,1 až 0,5 mm  
 o délce 10 až 100 m  
 WCOT wall coated open tubular  
 SCOT support coated open tubular  
 PLOT porous layer open tubular  
 s chemicky vázanou stacionární fází

**WCOT**



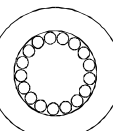
stacionární  
fáze

**SCOT**



nosič a  
stacionární  
fáze

**PLOT**



sorbent

## ADSORBENTY v GC

### **aktivní uhlí, grafitizované uhlí**

dělení plynů a lehkých uhlovodíků

### **silikagel**

dělení anorganických plynů a  
nízkovroucích kapalin

### **molekulová síta** (krystalické hlinitokřemičitany)

5A dělení plynů a lehkých uhlovodíků  
 4A jako sušidla

### **porézní polymery** (vinylbenzenové kopolymeru)

komerčně tzv. Porapaky

dělení nízkomolekulárních uhlovodíků,  
 anorganických plynů, alkoholů,  
 esterů a ketonů

## KAPALNÉ STACIONÁRNÍ FÁZE v GC

**Carbowaxy** (polyethylenglykoly)

**Ucony** (polypropylenglykoly)

polární stacionární fáze  
s rostoucí  $M$ , klesá polarita

**Polyestery** (např. polyethylenglykoladipát, polypropylenglykoladipát, polyethylenglykolsukcinát)

polární stacionární fáze

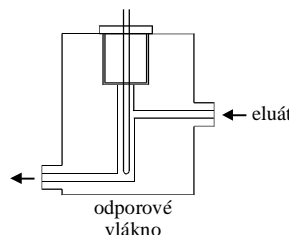
**Silikonové stacionární fáze** (polysiloxany)

(např. methylpolysiloxan SE-30, fenylmethylpolysiloxan OV-17, fenylpolysiloxan SE-54, kyanopropylpolysiloxan SP-2340)

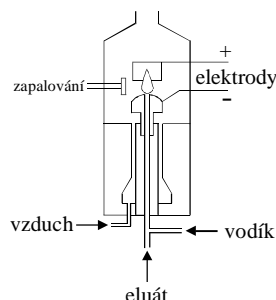
často používané  
široký rozsah polarity

## DETEKTORY

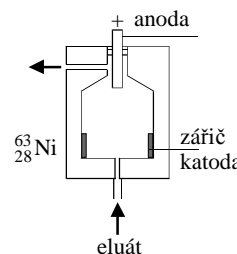
a) tepelně vodivostní detektor, TCD  
univerzální, nedestruktivní, středně citlivý



b) plamenový ionizační detektor, FID  
selektivní, destruktivní, velmi citlivý



c) detektor elektronového záchytu, ECD  
selektivní, nedestruktivní, středně citlivý



d) hmotnostní spektrometr, MS  
vysoce specifický, destruktivní, velmi citlivý

**TCD** : všechny látky lišící se tepelnou vodivostí od nosného plynu

**FID** : uhlovodíky

**ECD** : halogenderiváty (pesticidy) a nitroderiváty

## CHARAKTERIZACE DETEKTORŮ

základní linie, šum a drift, písk

**odezva detektoru** (signál detektoru), R  
diferenciální veličina (výška píku)

$$R = S \cdot c \quad \text{nebo} \quad R = S \cdot \frac{dm}{dt}$$

**citlivost detektoru, S**

plocha pod eluční křivkou, A  
integrální veličina (plocha píku)

$$A = \int_{t_1}^{t_2} R dt = \frac{S}{Mh} \cdot \frac{m}{F_m} \quad \text{nebo} \quad A = \int_{t_1}^{t_2} R dt = S \cdot m$$

**časová konstanta,  $\tau$**  ( $3\tau \rightarrow 95\%$ )

$$R_t = R_\infty \cdot (1 - e^{-t/\tau})$$

**lineární dynamický rozsah**

$$A = b \cdot c$$

**detekční limit, LOD**  $3\sigma$

**limit stanovení, LOS**  $10\sigma$

## ANALYTICKÁ INFORMACE Z CHROMATOGRAMU

### RESULTS

Peak	RT(min)	Height	Area	W0.5
1	5.723	1.957	8.872	0.023
2	12.561	5.457	96.121	0.048
3	15.887	2.827	73.266	0.073
4	22.975	0.773	6.001	0.102

### kvalitativní informace :

poloha píku - retenční čas

→ retenční faktor - druh látky

(metoda standardů nebo MS detekce)

### kvantitativní informace :

plocha píku → množství, koncentrace látky

a) metoda vnitřní normalizace

b) metoda absolutní kalibrace (kalibrační přímky)

c) metoda vnitřního standardu

d) metoda standardního přídavku

## GC PLYNŮ ze VZDUCHU

kolona : náplňová, z nerezové oceli

6' x 1/8" (183 cm x 3,2 mm)

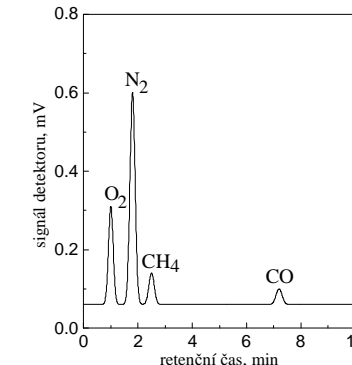
stacionární fáze : molekulové síto 5A

nosný plyn : 30 ml/min He

dávkování : 100 µl (35 °C)

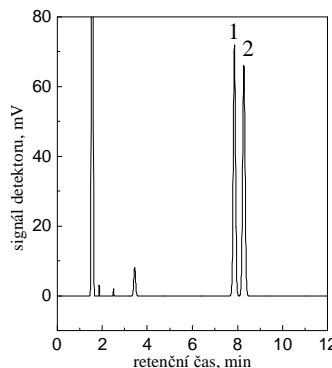
teplota termostatu kolony : 35 °C

detekce : TCD (140 °C)



GC isopropylesteru FENYLALANINU  
(N-TFA)

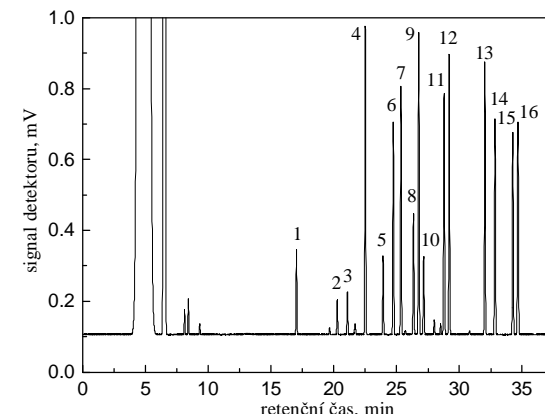
kolona: křemenná kapilární, 25 m x 0,250 mm  
stacionární fáze :  
PERMABOND® L-CHIRASIL-VAL  
nosný plyn : 1,2 ml/min H<sub>2</sub> (0,6 bar)  
dávkování : 0,5 µl (1% roztok v CH<sub>2</sub>Cl<sub>2</sub>)  
splitter (dělič) : 1:50  
teplota termostatu kolony : 150 °C  
detekce : FID (260 °C)  
1. D-fenylalanin, 2. L-fenylalanin



GC polychlorovaných bifenylů (PCB)

kolona: FS-SE-54-DF-0,35; 50 m x 0,25 mm ID  
stacionární fáze: SE-54 (*fenylpolysiloxan*)  
nosný plyn: N<sub>2</sub> (1,2 bar)  
dávkování: 1 µl (200 - 800 pg/µl v CH<sub>2</sub>Cl<sub>2</sub>)  
splitter (dělič): 1:70  
teplota kolony: 80 °C → 280 °C, 8 °C/min  
detekce : ECD (260 °C)

1. 2-chlorobifenyl, 2. 4-chlorobifenyl, 3. 2,2'-dichlorobifenyl,  
4. 2,4-dichlorobifenyl, 5. 4,4'-dichlorobifenyl, 6. 3,5,3'-trichlorobifenyl,  
7. 2,4,4'-trichlorobifenyl, 8. 2,5,2',5'-tetrachlorobifenyl,  
9. 2,4,6,4'-tetrachlorobifenyl, 10. 3,4,4'-trichlorobifenyl,  
11. 2,3,4,6,2'-pentachlorobifenyl, 12. 2,3,4,4'-tetrachlorobifenyl,  
13. 2,3,4,5,2'-pentachlorobifenyl, 14. 2,4,5,2',4',5'-hexachlorobifenyl,  
15. 2,3,4,2',4',5'- hexachlorobifenyl, 16. 2,3,4,5,2',3'- hexachlorobifenyl

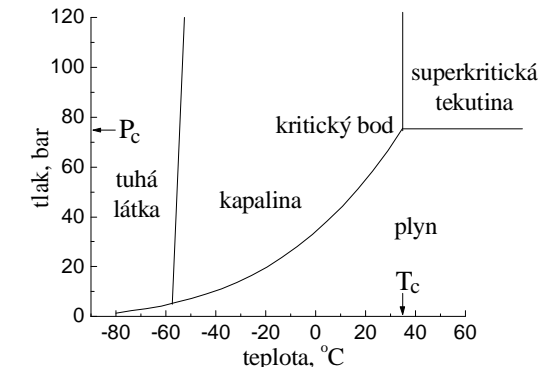


SUPERKRITICKÁ FLUIDNÍ CHROMATOGRAFIE, SFC

mobilní fáze je **superkritická tekutina**

CO<sub>2</sub> :      kritická teplota, T<sub>c</sub> = 35 °C  
                  kritický tlak, P<sub>c</sub> = 75 bar (7,5 MPa)

fázový diagram oxidu uhličitého



oxid uhličitý

40 °C : 72 bar → 0,22 g/ml , 400 bar → 0,96 g/ml  
80 °C : 72 bar → 0,14 g/ml , 400 bar → 0,82 g/ml

Hustota a rozpouštěcí schopnost superkritické tekutiny se blíží hustotě a rozpouštěcí schopnosti kapalin. Viskozita superkritické tekutiny se blíží viskozitě plynů.